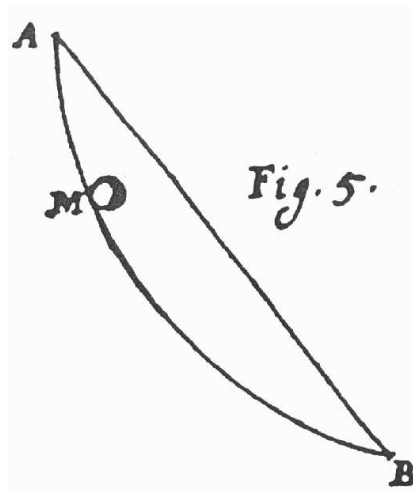


# Commande optimale des systèmes dynamiques

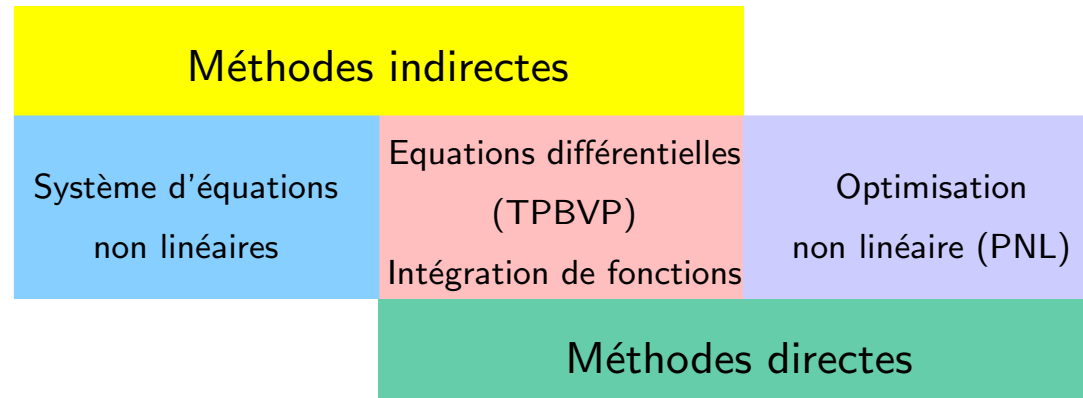
## Méthodes numériques de résolution



## Problème de Commande Optimale (PCO) :

$$\begin{aligned} \min_{u \in \mathcal{U}} \quad & J(x, u) = \int_{t_0}^{t_f} L(t, x(t), u(t)) dt + \psi_0(t_f, x(t_f)) \\ \text{sous} \quad & \dot{x}(t) = f(t, x(t), u(t)) \\ & \psi(t_0, x(t_0), t_f, x(t_f)) = 0 \quad t_0, t_f \text{ libres ou fixés} \\ & \underline{h} \leq h(x, u, t) \leq \bar{h} \end{aligned}$$

- ✓ Méthodes Indirectes (MI) : CV + PMP :  $H \geq H^* \rightarrow$  CNO :  $H_\lambda = \dot{x}, H_x = -\dot{\lambda}^*(t) \rightarrow$  TPBVP :  $\dot{z} = F(t, z), F_0(z(0), z(t_f)) = 0 \rightarrow$  extrêmales :  $(x^*, u^*)$
- ✓ Méthodes Directes (MD) : PCO  $\rightarrow$  Etat et/ou commande discrétisés :  $(x(t_k), u(t_k)) \rightarrow$  PNL :  $\min_y J(y)$  sous  $y \in Y \rightarrow$  solutions sous-optimales :  $(\hat{x}, \hat{u})$



Problème de Commande Optimale (PCO) :

$$\begin{aligned} \min_{u \in \mathcal{U}} \quad & J(x, u) = \int_{t_0}^{t_f} L(t, x(t), u(t)) dt + \psi_0(t_f, x(t_f)) \\ \text{sous} \quad & \dot{x}(t) = f(t, x(t), u(t)), \quad x(t_0) = x_0 \\ & \psi(t_f, x(t_f)) = 0, \quad t_f \text{ libre ou fixé} \end{aligned}$$

CN d'optimalité au premier ordre  $H(t, x, \lambda, u) = L(t, x, u) + \lambda^T f(t, x, u)$

## ❶ Equations canoniques de Hamilton + Equation de commande

$$\dot{x}^*(t) = H_\lambda(t, x^*, \lambda^*, u^*) \quad \dot{\lambda}^*(t) = -H_x(t, x^*, \lambda^*, u^*) \quad u^*(t) = \min_{u \in \mathcal{U}} H(t, x, \lambda, u)$$

## ❷ Conditions de transversalité

$$\begin{aligned} & x(t_0) - x_0 = 0, \quad \psi(t_f^*, x^*(t_f)) = 0 \\ & \left[ \nabla_{x_f} \psi_0^* + \psi_{x_f}^{*T} \nu - \lambda^* \right]_{|t_f} = 0 \\ & \left[ H^* + \nu^T \psi_{t_f}^* + \psi_{0t_f}^* \right]_{|t_f} = 0 \text{ si } t_f \text{ libre} \end{aligned}$$

Principe général :

- ❶ Exprimer  $u^*(t) = u(x^*, \lambda^*)$
- ❷ Déduire le TPBVP  $\dot{z} = F(t, z), z(t_0) = z_0$  avec

$$z^T = \begin{bmatrix} x^T & \lambda^T \end{bmatrix}^T \quad F(t, z)^T = \begin{bmatrix} H_\lambda^T & -H_x^T \end{bmatrix}^T \quad z_0^T = \begin{bmatrix} x_0^T & \lambda(t_0)^T \end{bmatrix}^T$$

- ❸ Initialiser  $\lambda(t_0) = \lambda_0, t_f, \nu$
- ❹ Trouver itérativement les racines de  $F_0(z_0, z(t_f), \nu) = 0$  sous les contraintes

$$\dot{z} = F(t, z), z(t_0) = z_0$$

Résoudre  $F_0(\lambda_0, x(t_f), \lambda(t_f), \nu) = \begin{bmatrix} \psi(t_f^*, x^*(t_f)) \\ \left[ \nabla_{x_f} \psi_0^* + \psi_{x_f}^{*T} \nu - \lambda^* \right]_{|t_f} \\ \left[ H^* + \nu^T \psi_{t_f}^* + \psi_{0t_f}^* \right]_{|t_f} \end{bmatrix} = 0$

sous  $\dot{x} = H_\lambda(t, x, \lambda), x(t_0) = x_0$

$$\dot{\lambda} = -H_x(t, x, \lambda), \lambda(t_0) = \lambda_0$$

**Nota :** 2 ensembles de CN - les contraintes satisfaites à chaque étape et les contraintes satisfaites à la fin du processus itératif

**Algorithme 1** (*Méthode de Newton*)

**1**  $k \leftarrow 0$  ; **Initialiser**  $\lambda_0^k, t_f^k, \nu^k, \epsilon > 0$  ;

**2 Tant que**  $\|F_0(\lambda_0^k, x(t_f)^k, \lambda(t_f)^k, \nu^k)\| > \epsilon$  **alors**

4.1 **Calculer**  $x(t_f)^k, \lambda(t_f)^k$  ;

4.2 **Calculer**  $F_0(\lambda_0^k, x(t_f)^k, \lambda(t_f)^k, \nu^k)$  ;

4.3 **Calculer la matrice gradient**  $\nabla F_0^k = \begin{bmatrix} \nabla_{\lambda_0} F_0^k & \nabla_{\nu} F_0^k & \nabla_{t_f} F_0^k \end{bmatrix}$  ;

4.4 **Calculer la direction de descente**  $d_k^T = \begin{bmatrix} d_{\lambda}^{kT} & d_{\nu}^{kT} & d_{t_f}^k \end{bmatrix}^T$  *solution de*

$$\begin{bmatrix} \nabla_{\lambda} F_0(\lambda_0^k, x(t_f)^k, \lambda(t_f)^k, \nu^k)^T \\ \nabla_{\nu} F_0(\lambda_0^k, x(t_f)^k, \lambda(t_f)^k, \nu^k)^T \\ \nabla_{t_f} F_0(\lambda_0^k, x(t_f)^k, \lambda(t_f)^k, \nu^k)^T \end{bmatrix}^T \begin{bmatrix} d_{\lambda}^k \\ d_{\nu}^k \\ d_{t_f}^k \end{bmatrix} = -F_0(\lambda_0^k, x(t_f)^k, \lambda(t_f)^k, \nu^k)$$

4.5 **Actualiser**  $\lambda_0^{k+1} \leftarrow \lambda_0^k + d_{\lambda}^k, \nu^{k+1} \leftarrow \nu^k + d_{\nu}^k, t_f^{k+1} \leftarrow t_f^k + d_{t_f}^k, k + 1 \leftarrow k$  ;

**3 Fin Tant que**

**Nota :** L'étape 4.1 consiste à appliquer un schéma numérique d'intégration du TPBVP

 **Exemple 1** [Trélat 2008] Le problème de commande optimale étudié est défini par :

$$\min_{|u(t)| \leq 1} J = t_f$$

$$\text{sous } \dot{x}_1(t) = x_2(t), \quad x_1(0) = 0, \quad x_2(0) = 0$$

$$\dot{x}_2(t) = u(t), \quad x_1(t_f) = x_{1f}, \quad x_2(t_f) = x_{2f}$$

 **Hamiltonien** :  $H(x, u, \lambda) = \lambda_1(t)x_2(t) + \lambda_2(t)u(t)$

 **Équations canoniques de Hamilton** :

$$\dot{x}_1^*(t) = x_2^*(t), \quad x_1^*(0) = 0, \quad x_2^*(0) = 0$$

$$\dot{x}_2^*(t) = u^*(t), \quad x_1^*(t_f) = x_{1f}, \quad x_2^*(t_f) = x_{2f}$$

$$\dot{\lambda}_1^*(t) = 0,$$

$$\dot{\lambda}_2^*(t) = -\lambda_1^*(t)$$

 **Principe de Pontryagin** :

$$u^*(t) = -\text{sign}(\lambda_2^*(t)) = \begin{cases} -1 & \text{si } \lambda_2^*(t) > 0 \\ 1 & \text{si } \lambda_2^*(t) < 0 \\ \text{singulière} & \text{si } \lambda_2^*(t) = 0 \end{cases}$$

- ☞ Analyse des arcs singuliers :  $\text{rang} \left( \begin{bmatrix} B & AB \end{bmatrix} \right) = 2$ , pas d'arc singulier (Th. 5, C. 2)
- ☞ Existence et unicité de la commande optimale : (Th. 6 et Th. 7, C. 2)
- ☞ Structure de la commande optimale : au + une commutation en  $\tau$  (Th. 6, C. 2)
- ☞ Les séquences optimales :  $u^*(t) = \{1\}, \{-1\}, \{+1, -1\}, \{-1, +1\}$

-  $u^*(t) = \{+1, -1\}$ ,  $\lambda_1^*(t) = \frac{-2}{\sqrt{2x_{2f}^2 + 4x_{1f}}}$ ,  $\lambda_2^*(t) = -\lambda_1^*t - 1$ ,

$$t_f^* = -x_{2f} + \sqrt{2x_{2f}^2 + 4x_{1f}}, \tau = \frac{\sqrt{2x_{2f}^2 + 4x_{1f}}}{2}$$

$$\begin{aligned} 0 \leq t \leq \tau \quad & x_1^*(t) = \frac{t^2}{2} \\ & x_2^*(t) = t \end{aligned}$$

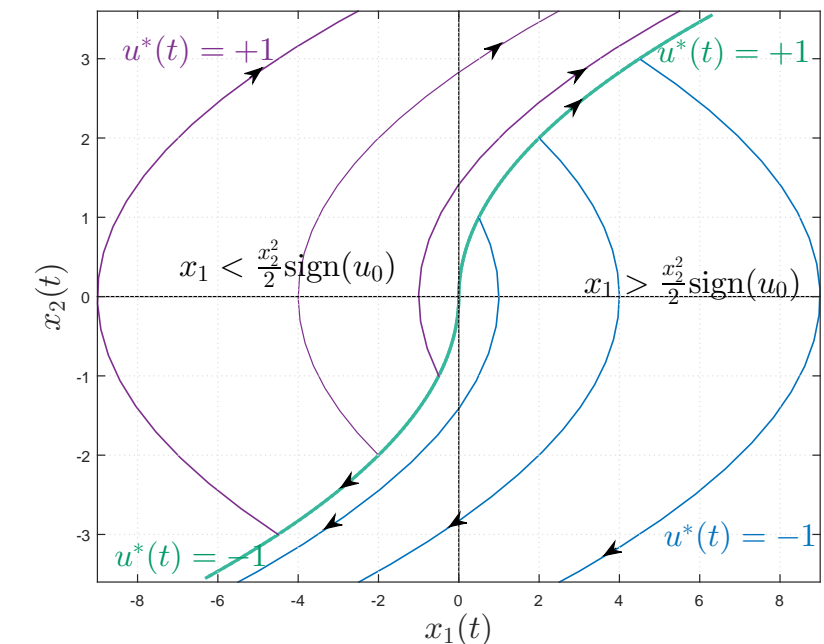
$$\begin{aligned} \tau \leq t \leq t_f^* \quad & x_1^*(t) = -\frac{t^2}{2} + 2\tau t - \tau^2 \\ & x_2^*(t) = -t + 2\tau \end{aligned}$$

-  $u^*(t) = \{-1, +1\}$ ,  $\lambda_1^*(t) = \frac{2}{\sqrt{2x_{2f}^2 - 4x_{1f}}}$ ,  $\lambda_2^*(t) = -\lambda_1^*t + 1$ ,

$$t_f^* = x_{2f} + \sqrt{2x_{2f}^2 - 4x_{1f}}, \tau = \frac{\sqrt{2x_{2f}^2 - 4x_{1f}}}{2}$$

$$\begin{aligned} 0 \leq t \leq \tau \quad & x_1^*(t) = -\frac{t^2}{2} \\ & x_2^*(t) = -t \end{aligned}$$

$$\begin{aligned} 0 \leq t \leq \tau \quad & x_1^*(t) = \frac{t^2}{2} - 2\tau t + \tau^2 \\ & x_2^*(t) = t - 2\tau \end{aligned}$$



- ❶ TPBVP :  $\dot{z} = F(t, z)$ ,  $z(t_0) = z_0$  avec  $z^T = \begin{bmatrix} x^T & \lambda^T \end{bmatrix}^T$ ,  $z_0^T = \begin{bmatrix} x_0^T & \lambda(t_0)^T \end{bmatrix}^T$   
et  $F(t, z)^T = \begin{bmatrix} x_2 & -\text{sign}(\lambda_2) & 0 & -\lambda_1 \end{bmatrix}^T$

```
function [zdot] = double_int(t,z)
% Système double intégrateur
zdot=[z(2);-sign(z(4));0;-z(3)];
end
```

- ❷ Fonction de tir

$$F_0(z_0, z(t_f)) = \begin{bmatrix} x_1(t_f) - x_{1f} & |x_2(t_f) - x_{2f}| & \lambda_1(t_f)x_2(t_f) - |\lambda_2(t_f)| + 1 \end{bmatrix}^T = 0$$

```
function [Zzero] = F_0(Z)
% Fonction F0(lambda,tf)
x0=[0;0];
zf=[1;-2];
options = odeset('RelTol',1e-12,'AbsTol',1e-12);
[t,z]=ode113(@double_int,[0;Z(3)], [x0;Z(1);Z(2)],options);
Zzero=[z(end,1)-zf(1);z(end,2)-zf(2);z(end,3)*z(end,2)-abs(z(end,4))+1];
end
```

**③ Calcul des zéros de la fonction de tir**

```
function [lambda0_tf,fval,flag] = tir_simple_double_integrator(x0,xf)
% Fonction de tir simple
clear all
lambda0=[-2;-2];tf=10;
x0=[0;0];
options=optimoptions('fsolve','display','iter');
[lambda0_tf,fval,flag]=fsolve(@F_0,[lambda0;tf]',options);
options_ode=odeset('abstol',1e-9,'reltol',1e-9);
[t,z]=ode45(@double_int, ...
[0;lambda0_tf(3)], [x0;lambda0_tf(1);lambda0_tf(2)],options_ode);
plot(z(:,1),z(:,2))
end

>> [lambda0_tf,fval,flag] = tir_simple_double_integrator([0;0],[0;-1])

lambda0_tf =
-0.5774    -1.0000     5.4641
```

$$u^*(t) = \{+1, -1\}, \quad \tau = \frac{\sqrt{2x_{2f}^2 + 4x_{1f}}}{2} = \sqrt{3}$$

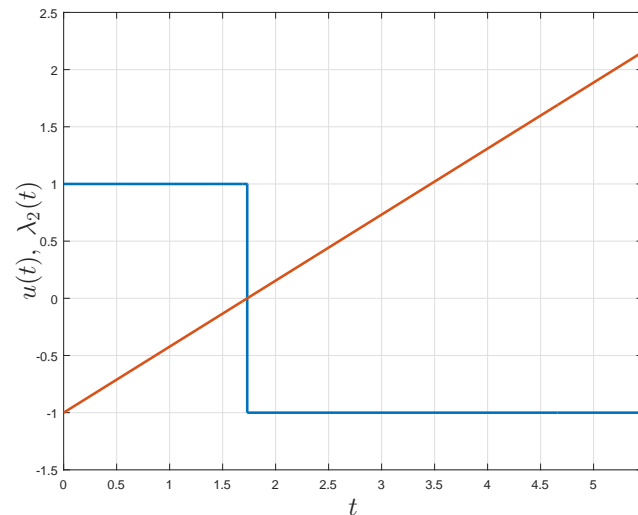
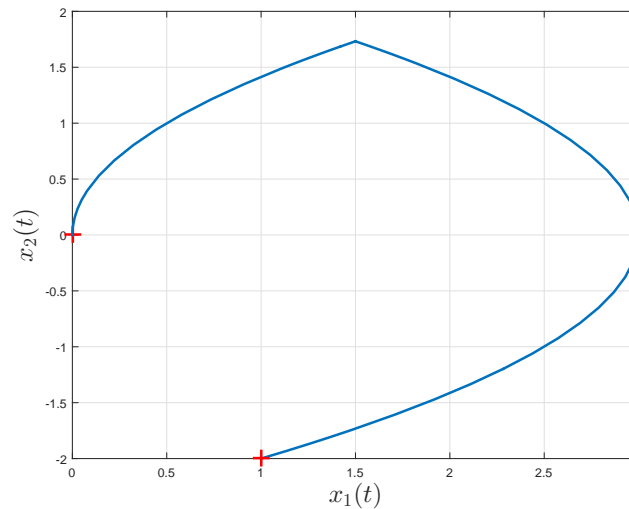
$$t_f = -x_{2f} + \sqrt{2x_{2f}^2 + 4x_{1f}} = 2 + 2\sqrt{3} \text{ s},$$

$$0 \leq t \leq \sqrt{3} \quad x_1^*(t) = \frac{t^2}{2}$$

$$x_2^*(t) = t$$

$$\sqrt{3} \leq t \leq t_f \quad x_1^*(t) = -\frac{t^2}{2} + 2\sqrt{3}t - 3$$

$$x_2^*(t) = -t + 2\sqrt{3}$$



$$u^*(t) = \{+1, -1\}, \quad \tau = \frac{\sqrt{2x_{2f}^2 + 4x_{1f}}}{2} = \sqrt{3}$$

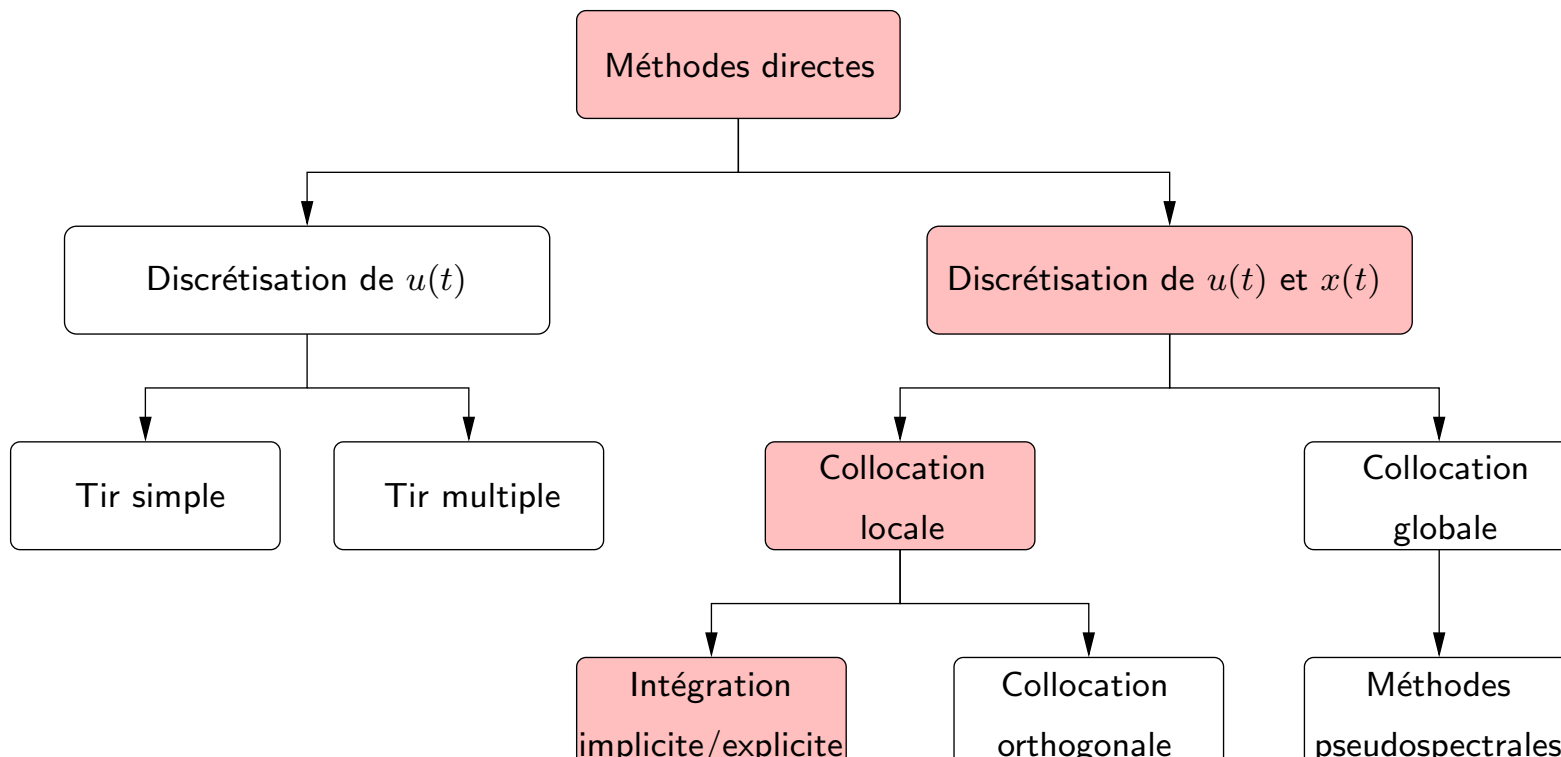
$$t_f = -x_{2f} + \sqrt{2x_{2f}^2 + 4x_{1f}} = 2 + 2\sqrt{3},$$

$$\lambda_1^*(t) = -\frac{2}{\sqrt{2x_{2f}^2 + 4x_{1f}}} = -\frac{1}{\sqrt{3}}$$

$$\lambda_2^*(t) = -\lambda_1^*t - 1 = \frac{1}{\sqrt{3}}t - 1$$

## Problème de Commande Optimale (PCO) :

$$\begin{aligned}
 \min_{u \in \mathcal{U}} \quad & J(x, u) = \int_{t_0}^{t_f} L(t, x(t), u(t)) dt + \psi_0(t_f, x(t_f)) \\
 \text{sous} \quad & \dot{x}(t) = f(t, x(t), u(t)), \quad x(t_0) = x_0 \\
 & \psi(t_f, x(t_f)) = 0 \quad t_0, t_f \text{ libres ou fixés} \\
 & g(x, u, t) \leq 0
 \end{aligned}$$

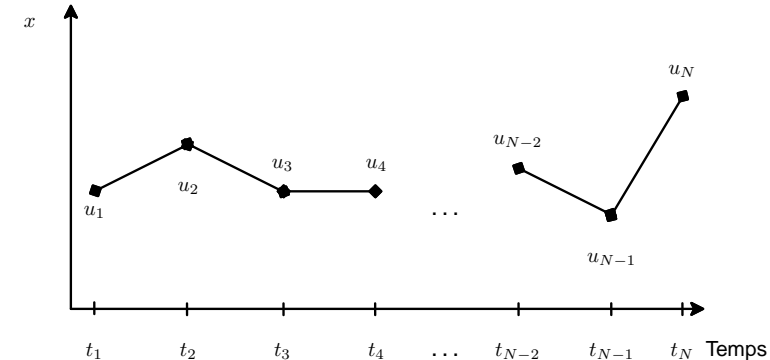
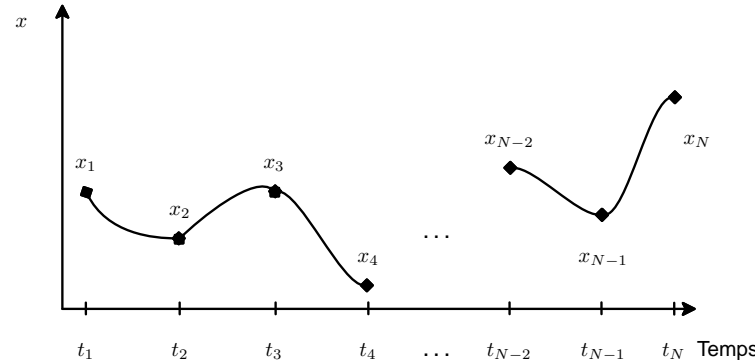


1. Discrétisation d'un **horizon fini** :  $t_0 = t_1 \leq t_2 \leq \dots \leq t_{N-1} \leq t_N = t_f$

2. Les variables d'optimisation sont les **états** et les **commandes** aux instants  $\{t_i\}$

$$\mathbf{Y} = \begin{bmatrix} x_1^T & x_2^T & \dots & x_{N-1}^T & x_N^T & u_1^T & u_2^T & \dots & u_{N-1}^T & u_N^T & t_N \end{bmatrix}^T \in \mathbb{R}^{N(n+m)+1}$$

3.  $x(t)$  et  $u(t)$ ,  $t_i < t < t_{i+1}$  sont interpolés par des fonctions polynomiales (état) et linéaires (commande)  $\hat{u}(t) = u_i + \frac{t - t_i}{t_{i+1} - t_i}(u_{i+1} - u_i)$



4. Résolution du problème de PNL

$$\min_{\mathbf{Y}} F(\mathbf{Y})$$

sous  $\begin{cases} R(\mathbf{Y}) = 0 & \text{Résidus sur la dynamique} \\ g_d(\mathbf{Y}) \leq 0 & \text{Contraintes discrétisées sur les trajectoires} \end{cases}$

✓ Interpolation polynomiale cubique d'Hermite-Simpson

$$\hat{x}(t) = \sum_{k=0}^3 c_k^i \frac{(t - t_i)^k}{h_i}, \quad t_i \leq t \leq t_{i+1}, \quad i = 1, \dots, N-1, \quad h_i = t_{i+1} - t_i$$

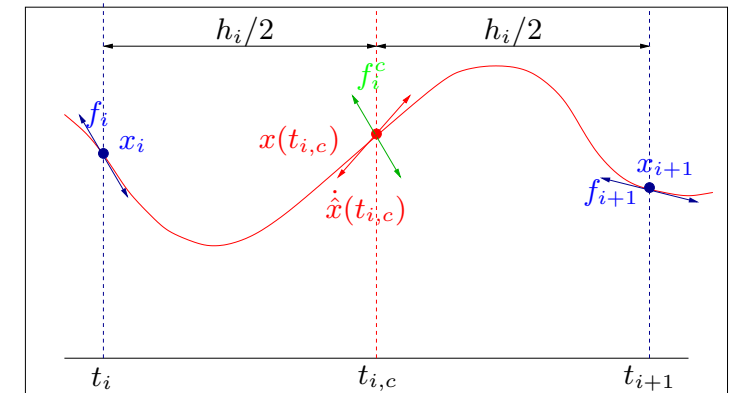
En notant  $f_i = f(x_i, u_i)$ ,  $t_{c,i} = (t_i + t_{i+1})/2$

$$c_0^i = x_i, \quad (\hat{x}(t_i) = x_i)$$

$$c_1^i = h_i f_i, \quad (\dot{\hat{x}}(t_i) = f_i)$$

$$c_2^i = -3x_i - 2h_i f_i + 3x_{i+1} - h_i f_{i+1}, \quad (\hat{x}(t_{i+1}) = x_{i+1})$$

$$c_3^i = 2x_i + h_i f_i - 2x_{i+1} + h_i f_{i+1}, \quad (\dot{\hat{x}}(t_{i+1}) = f_{i+1})$$



✓ Estimation de l'état au centre de l'intervalle

$$\hat{x}(t_{c,i}) = \frac{1}{2}(x_i + x_{i+1}) - \frac{h_i}{8}(f_{i+1} - f_i) \quad \text{et} \quad \dot{\hat{x}}(t_{c,i}) = \frac{-3}{2h_i}(x_i - x_{i+1}) - \frac{1}{4}(f_{i+1} + f_i)$$

✓ Contraintes de collocation

$$\hat{R}_i = \dot{\hat{x}}(t_{i,c}) - f(\hat{x}(t_{i,c}), \hat{u}(t_{i,c})) = \dot{\hat{x}}(t_{i,c}) - f_i^c = 0, \quad i = 1, \dots, N-1$$

$$R_i = x_{i+1} - x_i - \frac{h_i}{6}(f_i + 4f_i^c + f_{i+1}) = 0, \quad i = 1, \dots, N-1$$

✓ Quadrature cohérente avec la méthode de discrétisation de la dynamique (Simpson)

$$\begin{aligned}
 J(x, u) &= \int_{t_0}^{t_f} L(t, x, u) dt + \psi_0(t_f, x(t_f)) = \psi_0(t_N, x_N) + \sum_{i=0}^{N-1} \int_{t_i}^{t_{i+1}} L(t, x, u) dt \\
 &\simeq \psi_0(t_N, x_N) + \sum_{i=0}^{N-1} \frac{h_i}{6} [L(t_i, x_i, u_i) + 4L(t_{i,c}, x_{i,c}, u_{i,c}) + L(t_{i+1}, x_{i+1}, u_{i+1})] \\
 &\simeq F(\textcolor{red}{Y})
 \end{aligned}$$

✓ POC discrétisé

$$\min_{\textcolor{red}{Y}} \quad \psi_0(\textcolor{brown}{t}_N, \textcolor{red}{x}_N) + \sum_{i=0}^{N-1} \frac{h_i}{6} [L(t_i, \textcolor{red}{x}_i, \textcolor{red}{u}_i) + 4L(t_{i,c}, \textcolor{red}{x}_{i,c}, \textcolor{red}{u}_{i,c}) + L(t_{i+1}, \textcolor{red}{x}_{i+1}, \textcolor{red}{u}_{i+1})]$$

$$R_i(\textcolor{red}{x}_i, \textcolor{red}{x}_{i+1}, f(\textcolor{red}{x}_i, \textcolor{red}{u}_i), f(\textcolor{red}{x}_{i,c}, \textcolor{red}{u}_{i,c}), f(\textcolor{red}{x}_{i+1}, \textcolor{red}{u}_{i+1})) = 0, \quad i = 1, \dots, N-1$$

$$\text{sous} \quad \psi(\textcolor{brown}{t}_N, \textcolor{red}{x}_N) = 0$$

$$\textcolor{red}{x}_1 = x_0$$

$$g(\textcolor{red}{x}_i, \textcolor{red}{u}_i, t_i) \leq 0, \quad i = 1, \dots, N$$

✓ Méthode d'Euler

- Variables  $Y^T = \begin{bmatrix} x_1 & u_1 & \cdots & x_N & u_N \end{bmatrix}$
- Résidus  $R_i = x_{i+1} - x_i - h_i f_i$

✓ Méthode Trapézoidale

- Variables  $Y^T = \begin{bmatrix} x_1 & u_1 & \cdots & x_N & u_N \end{bmatrix}$
- Résidus  $R_i = x_{i+1} - x_i - \frac{h_i}{2}(f_i + f_{i+1})$

✓ Méthode de Runge-Kutta classique

- Variables  $Y^T = \begin{bmatrix} x_1 & u_1 & u_{1,c} & \cdots & u_{N-1,c} & x_N & u_N \end{bmatrix}$
- Résidus  $R_i = x_{i+1} - x_i - \frac{1}{6}(k_1 + 2k_2 + 2k_3 + k_4)$  où

$$\begin{aligned} k_1 &= h_i f_i \\ k_2 &= h_i f(x_i + \frac{1}{2}k_1, u_{i+1,c}, t_i + \frac{h_i}{2}) \\ k_3 &= h_i f(x_i + \frac{1}{2}k_2, u_{i+1,c}, t_i + \frac{h_i}{2}) \\ k_4 &= h_i f(x_i + k_3, u_{i+1}, t_{i+1}) \end{aligned}$$

**① Discrétisation d'un horizon fini :**  $t_0 = t_1 \leq t_2 \leq \cdots \leq t_{N-1} \leq t_N = t_f$ ,  $h_i = t_{i+1} - t_i$

**② Variables d'optimisation**

$$\boldsymbol{Y} = \begin{bmatrix} x_1^1 & \cdots & x_1^N & x_2^1 & \cdots & x_2^N & u^1 & \cdots & u^N & t_N \end{bmatrix}^T \in \mathbb{R}^{3N+1}$$

**③ Contraintes de résidus :**  $R_i$ ,  $i = 1, \dots, N-1$  : (Hermite-Simpson)

$$\begin{aligned} x_1^{i+1} - x_1^i - \frac{h_i}{6} \left[ 3(x_2^i + x_2^{i+1}) - \frac{h_i}{2}(u^{i+1} - u^i) \right] &= 0 \\ x_2^{i+1} - x_2^i - \frac{h_i}{2} [u^{i+1} + u^i] &= 0 \end{aligned}$$

**④ Contraintes initiales et finales :**  $x_1^1 = 0$ ,  $x_1^N = 1$ ,  $x_2^1 = 0$ ,  $x_2^N = -2$

```
function [c,ceq] = cons(x)
N=(length(x)-1)/3;
c=0;tf=x(end);xf=0;yf=0;h=tf/N;ceq=[];
for i=1:N-1
    ceq=[ceq;x(i+1)-x(i)-(h/6)*(3*(x(N+i)+x(N+i+1))-(h/2)*(x(2*N+i+1)-x(2*N+i)))];
    ceq=[ceq;x(N+i+1)-x(N+i)-(h/2)*(x(2*N+i)+x(2*N+i+1))];
end
ceq=[ceq;x(N)-1;x(2*N)+2;x(1);x(N+1)];
```

**5 Critère :  $t_N$** 

```
function [val] = tempsfinal(x)
val=x(end);
end
```

**6 Problème d'optimisation :**

```
function [Y,x1,x2,u,tf]=Collocation_double_integrator(N)
clear all; close all; clc;
N=50;yinit=2*rand(3*N,1);tfini=1;Yinit=[yinit;tfini];
options = optimoptions('fmincon','Algorithm','sqp',...
'MaxFunEvals',100000,'MaxIter',1000);
lb=[-5*ones(2*N,1);-ones(N+1,1)];lb(3*N+1)=0;
ub=[5*ones(2*N,1);ones(N+1,1)];ub(3*N+1)=10;
[Y,Fval,exitflag]=fmincon(@tempsfinal,Yinit,[],[],[],[],lb,ub,...
@cons,options);
exitflag;tf=Y(end);
for i=1:N
    x1(i)=Y(i);x2(i)=Y(N+i);
    u(i)=Y(2*N+i);
end
```

$$u^*(t) = \{+1, -1\}, \tau = \frac{\sqrt{2x_{2f}^2 + 4x_{1f}}}{2} = \sqrt{3}$$

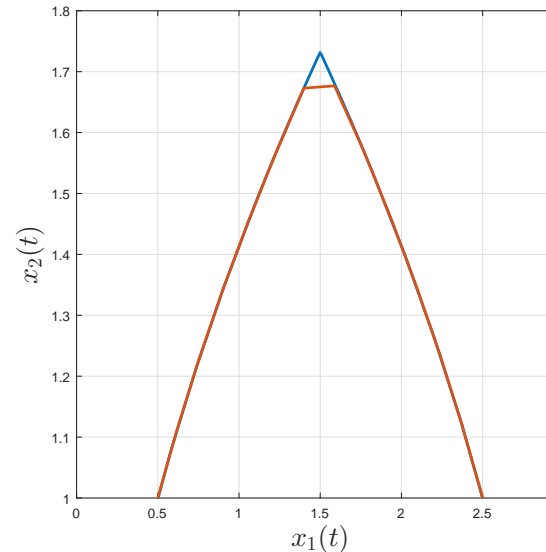
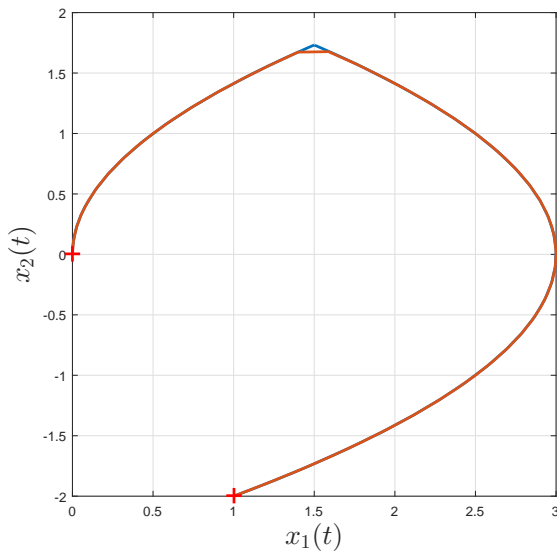
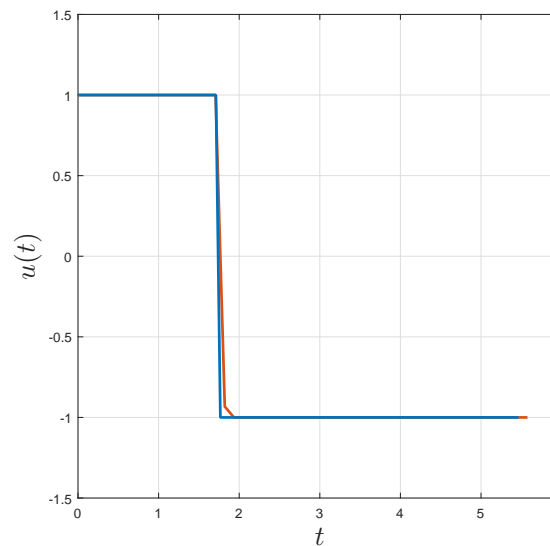
$$t_f = -x_{2f} + \sqrt{2x_{2f}^2 + 4x_{1f}} = 2 + 2\sqrt{3} \text{ s},$$

$$0 \leq t \leq \sqrt{3} \quad x_1^*(t) = \frac{t^2}{2}$$

$$x_2^*(t) = t$$

$$\sqrt{3} \leq t \leq t_f \quad x_1^*(t) = -\frac{t^2}{2} + 2\sqrt{3}t - 3$$

$$x_2^*(t) = -t + 2\sqrt{3}$$



Résultats collocation :  
 $N = 50, t_f = 5.5765 \text{ s}$

La méthode à choisir dépend du problème posé !

✓ Les méthodes indirectes :

- ♥ Bonne précision numérique
- ♠ CN d'optimalité
- ♠ Rigidité de la méthode (structure des commutations)
- ♠ Difficulté des contraintes sur l'état
- ♠ Initialisation difficile

✓ Les méthodes directes :

- ♥ Mise en œuvre simple
- ♥ Bonne robustesse
- ♥ Contraintes sur l'état
- ♠ Peu précises
- ♠ Pas de garantie entre les points de discrétisation
- ♠ Possibilité de minima locaux pour le PNL
- ♠ Taille du problème de PNL